

Национальный исследовательский университет
“Московский энергетический институт”

Отчет по курсовой работе
по дисциплине: «Численные методы»

Тема курсовой работы
**«Начально-краевая задача для одномерного уравнения
колебаний»**

Группа: А -05 -18
Студентка: Поиленкова Анна
Преподаватель: Амосова О.А.

Москва 2020

Теоретическая часть

Постановка задачи

Вторая краевая задача для уравнения колебаний:

$$\begin{cases} u_{tt} = a^2 u_{xx} + f(x, t) & 0 < x < l, 0 < t < T \\ u(x, 0) = \Phi(x), u_t(x, 0) = \varphi(x) & 0 \leq x \leq l \\ u_x(0, t) = \mu_1(t), u_x(l, t) = \mu_2(t) & 0 \leq t \leq T \end{cases}$$

1.10. Задача (1.2). Явная схема. Моделирование колебаний в зависимости от внешнего сосредоточенного импульса.

$$f(x, t) = g(x, \xi, \varepsilon), \quad g(x, \xi, \varepsilon) = \begin{cases} 2\varepsilon, & x \in [\xi - \varepsilon, \xi + \varepsilon] \\ 0, & x \notin [\xi - \varepsilon, \xi + \varepsilon] \end{cases}, \quad \varepsilon = 0.1l, 0.01l, \quad \xi = l/4, l/2, l/3.$$

$\Phi(x) = 0, \quad \varphi(x) = 0$

Тестовые примеры:

$$\begin{cases} u_{tt} = u_{xx} + 10e^{-3t} \cos x, \\ 0 < x < \pi, \quad 0 < t < T, \\ u(x, 0) = 0, u_t(x, 0) = 0, \quad 0 \leq x \leq \pi, \\ u_x(0, t) = 0, u_x(\pi, t) = 0, \quad 0 \leq t \leq T. \end{cases} \quad \begin{cases} u_{tt} = u_{xx} + 8 \cos 2t \cos 4x, \\ 0 < x < \pi, \quad 0 < t < T \\ u(x, 0) = 0, u_t(x, 0) = 0, \quad 0 \leq x \leq \pi, \\ u_x(0, t) = 0, u_x(\pi, t) = 0, \quad 0 \leq t \leq T. \end{cases}$$

Литература [2], Часть 3, Глава 1, §5.

Аналитическое решение

Нахождение аналитического решения задачи для тестового примера методом собственных функций

1. Рассмотрим вторую краевую задачу для уравнения колебаний:

$$\begin{cases} u_{tt} = a^2 u_{xx} + f(x, t) & 0 < x < l, 0 < t < T \\ u(x, 0) = \Phi(x), u_t(x, 0) = \varphi(x) & 0 \leq x \leq l \\ u_x(0, t) = \mu_1(t), u_x(l, t) = \mu_2(t) & 0 \leq t \leq T \end{cases} \quad (1)$$

1. Поставим основную вспомогательную задачу:

$$\text{возьмем однородные краевые условия} \quad \begin{cases} u_x(0, t) = 0 \\ u_x(l, t) = 0 \end{cases} \quad (2)$$

и правую часть $f(x, t) = 0 \Rightarrow u_{tt} = a^2 u_{xx}$

2. Будем искать решение методом Фурье, то есть представим решение в виде произведения двух функций: $u(x, t) = X(x)T(t)$, одна из которых зависит только от x , а другая от t .
3. Тогда подставив в уравнение $u_{tt} = a^2 u_{xx}$ наше решение $u(x, t) = X(x)T(t)$ получим:

$$X(x)T''(t) = a^2 T(t)X''(x)$$

4. Поделим обе части уравнения на $a^2 T(t)X(x)$

$$\frac{T''(t)}{a^2 T(t)} = \frac{X''(x)}{X(x)}$$

5. Получили равенство, в котором левая часть зависит только от t , а правая от x . Функции разных переменных могут быть равны между собой только тогда, когда они равны константе. Обозначается эта константа $-\lambda$.

$$\frac{T''(t)}{a^2 T(t)} = \frac{X''(x)}{X(x)} = -\lambda$$

6. После преобразований получим два уравнения:

$$X''(x) + \lambda X(x) = 0$$

$$T''(t) + a^2 \lambda T(t) = 0$$

Задача Штурма-Лиувилля.

7. Рассмотрим уравнение $X''(x) + \lambda X(x) = 0$.

Граничные условия (2) дают

$$u_x(0, t) = X'(0)T(t) = 0$$

$$u_x(l, t) = X'(l)T(t) = 0$$

Следовательно $X(x)$ удовлетворяет условиям $X'(0) = X'(l) = 0$

Переходим к задаче о собственных значениях:

Найти те значения λ , при которых существуют нетривиальные условия задачи

$$\begin{cases} X''(x) + \lambda X(x) = 0 \\ X'(0) = 0, X'(l) = 0 \end{cases}$$

а также найти эти решения.

Такая задача называется задача Штурма-Лиувилля.

- $\lambda < 0$ Нет тривиальных решений
- $\lambda = 0$ Нет тривиальных решений

- $\lambda > 0$

Общее решение уравнения

$$X(x) = D_1 \cos \sqrt{\lambda} x + D_2 \sin \sqrt{\lambda} x$$

$$X'(x) = -\sqrt{\lambda} D_1 \sin \sqrt{\lambda} x + \sqrt{\lambda} D_2 \cos \sqrt{\lambda} x$$

Граничные условия дают

$$X'(0) = -\sqrt{\lambda} D_1 \sin 0 + \sqrt{\lambda} D_2 \cos 0 = \sqrt{\lambda} D_2 = 0 \Rightarrow D_2 = 0$$

$$X'(x) = -\sqrt{\lambda} D_1 \sin \sqrt{\lambda} l + \sqrt{\lambda} D_2 \cos \sqrt{\lambda} l = -\sqrt{\lambda} D_1 \sin \sqrt{\lambda} l = 0$$

Если $X(x)$ не равно тождественно нулю, то $D_1 \neq 0$, а $\lambda > 0$, поэтому $-\sin \sqrt{\lambda} l = 0$

$\sqrt{\lambda} = \frac{\pi n}{l}$, где n - \forall целое число. Следовательно, нетривиальные решения задачи

возможны лишь при значениях. $\lambda_n = \left(\frac{\pi n}{l}\right)^2$

$$X_n(x) = D_n \cos \frac{\pi n}{l} x, \text{ где } D - \text{ произвольная постоянная}$$

$$X_n(x) = \cos \frac{\pi n}{l} x$$

8. Уравнение $T(t)'' + a^2 T(t) = 0$ решим в общем виде, подставив найденное λ_n

$$T_n(t) = A_n \cos \frac{\pi n}{l} at + B_n \sin \frac{\pi n}{l} at$$

A_n и B_n - произвольные постоянный

9. Вернемся к задаче (1)

$$U_n(x, t) = X_n(x) T_n(t) = (A_n \cos \frac{\pi n}{l} at + B_n \sin \frac{\pi n}{l} at) \cos \frac{\pi n}{l} x$$

Являются частными решениями уравнения (1), удовлетворяющими граничным условиям.

В силу линейности и однородности уравнения (1) сумма частных решений

$$U(x, t) = \sum_{i=1}^{\infty} U_n(x, t) = \sum_{i=1}^{\infty} (A_n \cos \frac{\pi n}{l} at + B_n \sin \frac{\pi n}{l} at) \cos \frac{\pi n}{l} x$$

10. Найдем A_n и B_n , используя условия $u(x, 0) = \Phi(x)$, $u_t(x, 0) = \varphi(x)$

$$\sum_{i=1}^{\infty} \frac{\partial U_n}{\partial t}(x, t) = \sum_{i=1}^{\infty} \left(-A_n \frac{\pi n}{l} a * \sin \frac{\pi n}{l} at + B_n \frac{\pi n}{l} a * \cos \frac{\pi n}{l} at \right) \cos \frac{\pi n}{l} x$$

$$\begin{cases} u(x, 0) = \Phi(x) = \sum_{i=1}^{\infty} U_n(x, 0) = \sum_{i=1}^{\infty} (A_n \cos 0 + B_n \sin 0) \cos \frac{\pi n}{l} x = \sum_{i=1}^{\infty} (A_n) \cos \frac{\pi n}{l} x \\ u_t(x, 0) = \varphi(x) = \sum_{i=1}^{\infty} \frac{\partial U_n}{\partial t}(x, 0) = \sum_{i=1}^{\infty} \left(-A_n \frac{\pi n}{l} a * \sin 0 + B_n \frac{\pi n}{l} a * \cos 0 \right) \cos \frac{\pi n}{l} x = \sum_{i=1}^{\infty} (B_n \frac{\pi n}{l} a) \cos \frac{\pi n}{l} x \end{cases}$$

11. Используем ряды Фурье

(у нас четная функция)

$$F(x) = \frac{a_0}{2} + \sum_{n=1}^{\infty} \left(a_n \cos \frac{\pi n}{l} x + b_n \sin \frac{\pi n}{l} x \right),$$

$$a_n = \frac{1}{l} \int_{-l}^{+l} F(\xi) \cos \frac{\pi n}{l} \xi d\xi, \quad b_n = \frac{1}{l} \int_{-l}^{+l} F(\xi) \sin \frac{\pi n}{l} \xi d\xi.$$

Сравнивая формулы видно, что $A_n = \frac{2}{l} \int_0^l \Phi(x) \cos \frac{\pi n}{l} x dx$ и $B_n = \frac{2}{\pi n a} \int_0^l \varphi(x) \cos \frac{\pi n}{l} x dx$

Получаем,

$$U(x, t) = \sum_{i=1}^{\infty} \left(\left(\frac{2}{l} \int_0^l \Phi(x) \cos \frac{\pi n}{l} x dx \right) \cos \frac{\pi n}{l} at + \left(\frac{2}{\pi n a} \int_0^l \varphi(x) \cos \frac{\pi n}{l} x dx \right) \sin \frac{\pi n}{l} at \right) \cos \frac{\pi n}{l} x$$

Тестовый пример 1

$$\begin{cases} u_{tt} = a^2 u_{xx} + 10e^{-3t} \cos x & 0 < x < \pi, 0 < t < T \\ u(x,0) = 0, u_t(x,0) = 0 & 0 \leq x \leq \pi \\ u_x(0,t) = 0, u_x(\pi,t) = 0 & 0 \leq t \leq T \end{cases} \quad (1.1)$$

$$\Rightarrow l = \pi \quad a = 1$$

Решение $U(x, t)$ будем искать в виде

$$U(x, t) = \sum_{k=1}^{\infty} T_k(t) \cos(kx), \text{ где } T_k(t) - \text{неизвестные функции} \quad (1.2)$$

Дифференцируем и подставляем в (1.1)

$$\sum_{k=1}^{\infty} [T_k''(t) + (\frac{\pi k}{l})^2 T_k(t)] \cos(kx) = f(x, t)$$

При произвольно фиксированном t представляем собой разложение функции $f(x, t)$ в ряд Фурье по косинусам. Поэтому для коэффициентов разложения имеем

$$T_k''(t) + k^2 T_k(t) = f_k(t) \quad k = 1, 2, 3.. \quad (1.3)$$

$$f_k(t) = \frac{1}{\pi} \int_0^{\pi} f(x, t) \cos(kx) dx = \frac{1}{\pi} \int_0^{\pi} 10e^{-3t} \cos(x) * \cos(kx) dx$$

$$= 10e^{-3t} \quad \text{при } k = 1$$

$$= 0 \quad \text{при } k \neq 1$$

$$U_t(x, t) = \sum_{k=1}^{\infty} T_k'(t) \cos(kx) \quad // \text{из (1.2)}$$

С учетом, что

$$u(x, 0) = 0 \text{ и } u_t(x, 0) = 0$$

$$\sum_{k=1}^{\infty} T_k(0) \cos(kx) = 0 \quad \text{и} \quad \sum_{k=1}^{\infty} T_k'(0) \cos(kx) = 0$$

$$T_k(0) = 0 \quad \text{и} \quad T_k'(0) = 0 \quad k = 1, 2, 3.. \quad (1.4)$$

Следовательно, для определения функций $T_k(t)$ имеем задачу (1.3) и (1.4), представляющую задачу Коши для обыкновенного дифференциального уравнения второго порядка с постоянными коэффициентами и начальными условиями. Ее решение может быть получено с помощью метода вариации произвольных постоянных в следующем виде

$$T_k''(t) + k^2 T_k(t) = \frac{1}{\pi} \int_0^\pi 10e^{-3t} \cos(x) * \cos(kx) dx$$

(при $k = 1$)

$$T_k''(t) + T_k(t) = 10e^{-3t}$$

$$+ T_k(0) = 0 \text{ и } T_k'(t) = 0$$

$$T_k(t) = e^{-3t} + 3\sin(t) - \cos(t)$$

(При $k \neq 1$)

$$T_k''(t) + k^2 T_k(t) = 0$$

$$+ T_k(0) = 0 \text{ и } T_k'(t) = 0 \quad k = 1, 2, 3..$$

нет решений

Подставляем в (1.1) и получаем ответ

$$U(x, t) = \sum_{i=1}^{\infty} [e^{-3t} + 3\sin(t) - 6\cos(t)] \cos(kx)$$

Тут будет только одно слагаемое (при $k=1$), а все остальные будут равны 0

$$\Rightarrow U(x, t) = [e^{-3t} + 3\sin(t) - \cos(t)] \cos(x)$$

Тестовый пример 2

$$\begin{cases} u_{tt} = a^2 u_{xx} + 8 \cos 2t \cos 4x & 0 < x < \pi, 0 < t < T \\ u(x, 0) = 0, u_t(x, 0) = 0 & 0 \leq x \leq \pi \\ u_x(0, t) = 0, u_x(\pi, t) = 0 & 0 \leq t \leq T \end{cases} \quad (2.1)$$

$$\Rightarrow l = \pi \quad a = 1$$

Проводим аналогичные размышления, что и при решении тестового примера 1 и начинаем с пункта (1.3)

$$T_k''(t) + k^2 T_k(t) = f_k(t) \quad k = 1, 2, 3.. \quad (1.3)$$

$$f_k(t) = \frac{1}{\pi} \int_0^\pi f(x, t) \cos(kx) dx = \frac{1}{\pi} \int_0^\pi 8 \cos(2t) \cos(4x) * \cos(kx) dx$$

$$= 8 \cos(2t) \quad \text{при } k = 4$$

$$= 0 \quad \text{при } k \neq 4$$

(Опять пропускаем аналогичные рассуждения)

(при $k = 4$)

$$T_k''(t) + 16 T_k(t) = 8 \cos(2t) \\ + T_k(0) = 0 \text{ и } T_k'(t) = 0$$

$$T_k(t) = \frac{4 (2 \cos(2t) + 1)}{3} \sin^2(t)$$

(При $k \neq 4$)

$$T_k''(t) + k^2 T_k(t) = 0$$

$$+ T_k(0) = 0 \text{ и } T_k'(t) = 0 \quad k = 1, 2, 3.. \quad \text{нет решений}$$

Подставляем в (2.1) и получаем ответ

$$U(x, t) = \sum_{i=1}^{\infty} \left[\frac{4 (2 \cos(2t) + 1)}{3} \sin^2(t) \right] \cos(kx)$$

Тут будет только одно слагаемое (при $k=4$), а все остальные будут равны 0

$$\Rightarrow U(x, t) = \left[\frac{4 (2 \cos(2t) + 1)}{3} \sin^2(t) \right] \cos(4x)$$

Численное решение

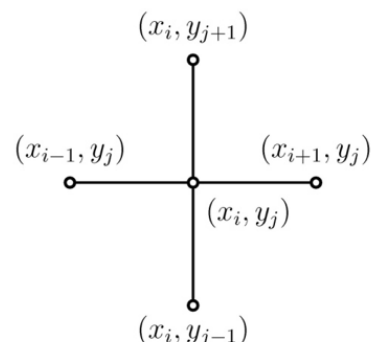
$$\begin{cases} u_{tt} = a^2 u_{xx} + 10e^{-3t} \cos x & 0 < x < \pi, 0 < t < T \\ u(x, 0) = 0, u_t(x, 0) = 0 & 0 \leq x \leq \pi \\ u_x(0, t) = 0, u_x(\pi, t) = 0 & 0 \leq t \leq T \end{cases}$$

Введем сетку по x и по t с шагом h

$$\varpi_h = (x_i = ih, i = 0, 1, 2, \dots, N_1)$$

$$\varpi_h = (t_j = jt, j = 0, 1, 2, \dots, N_2)$$

Решение задачи будем искать на сетке $\Omega = \varpi_h \times \varpi_\tau$



Для аппроксимации возьмем пятиточечный шаблон, где сеточная функция аппроксимирует функцию $f(x, y)$ в правой части уравнения. В случае, если эта функция непрерывна, то можно положить $F_{i,j} = f(x_i, y_j)$

Для аппроксимации начальных условий выражение $\frac{U_i^1 - U_i^0}{t} = 0$ не подойдет, потому что имеет второй порядок точности, будем использовать:

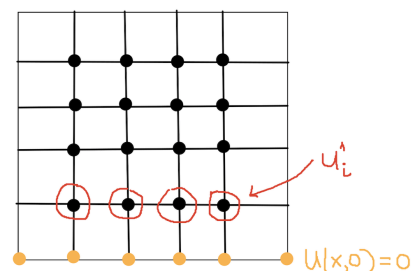
$$\begin{aligned} \frac{u(x, \tau) - u(x, 0)}{\tau} &= \frac{\partial u(x, 0)}{\partial t} + \frac{\tau}{2} \frac{\partial^2 u(x, 0)}{\partial t^2} + O(\tau^2) \\ \frac{\partial u(x, 0)}{\partial t} &= \frac{u(x, \tau) - u(x, 0)}{\tau} - \frac{\tau}{2} u''_t(x) + O(\tau^2), \end{aligned}$$

$$\frac{\partial u(x, 0)}{\partial t} \quad u_{tt} = a^2 u_{xx} + f(x, t)$$

$$\frac{\partial u(x, 0)}{\partial t} = \frac{U_i^1 - U_i^0}{t} - \frac{t}{2} (a^2 \frac{U_{i+1}^0 - 2U_i^0 + U_{i-1}^0}{h^2} + f(x, t)) = 0 \quad (\text{выражаем } U_i^1)$$

$$\Rightarrow U_i^1 = \frac{t^2}{2} f(x, t) \quad (\text{применим } U_i^0 = 0) \quad (\text{для } i = 1..N-1)$$

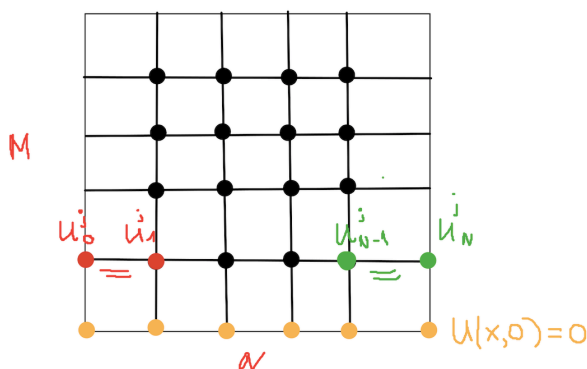
$$\frac{U_i^1 - U_i^0}{t} - \frac{t}{2} (a^2 \frac{U_{i+1}^0 - 2U_i^0 + U_{i-1}^0}{h^2} + f(x, t)) = 0$$



$$\frac{\partial u(0, t)}{\partial h} \quad \frac{\partial u(\pi, t)}{\partial h}$$

$$\frac{U_1^j - U_0^j}{h} = 0, \frac{U_{N_1}^j - U_{N_1-1}^j}{h} = 0$$

$$\Rightarrow U_1^j = U_0^j, U_{N_1}^j = U_{N_1-1}^j$$



$$\begin{cases} \frac{U_i^{j+1} - 2U_i^j + U_i^{j-1}}{t^2} - a^2 \frac{U_{i+1}^j - 2U_i^j + U_{i-1}^j}{h^2} = f(x_i, t_j) \\ U_i^0 = 0, U_i^1 = \frac{t^2}{2} f(x, t) (i = 1, N-1) \\ U_1^j = U_0^j, U_{N_1}^j = U_{N_1-1}^j \end{cases}$$

$$\frac{U_i^{j+1}}{t^2} - \frac{2U_i^j}{t^2} + a^2 \frac{2U_i^j}{h^2} + \frac{U_i^{j-1}}{t^2} - a^2 \frac{U_{i+1}^j}{h^2} - a^2 \frac{U_{i-1}^j}{h^2} = f(x_i, t_j)$$

$$U_{N_1}^j = U_{N_1-1}^j \text{ и } U_1^j = U_0^j \Rightarrow$$

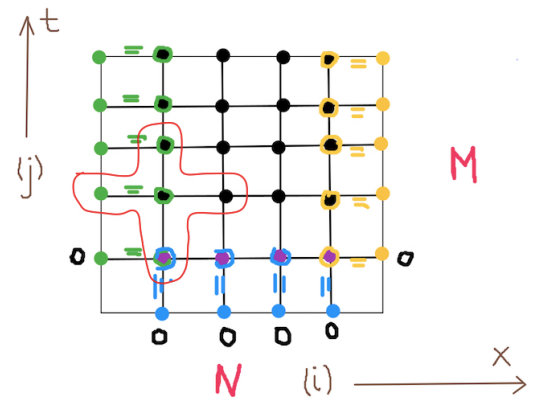
Распишем отмеченную точку:

$$\frac{U_1^3}{t^2} - \frac{2U_1^2}{t^2} + a^2 \frac{2U_1^2}{h^2} + \frac{U_1^1}{t^2} - a^2 \frac{U_2^2}{h^2} - a^2 \frac{U_0^2}{h^2} = f(x_1, t_j)$$

$$\frac{U_1^3}{t^2} - \frac{2U_1^2}{t^2} + a^2 \frac{2U_1^2}{h^2} - a^2 \frac{U_1^2}{h^2} + \frac{U_1^1}{t^2} - a^2 \frac{U_2^2}{h^2} = f(x_1, t_j)$$

Но нам не известна точка U_1^3

$$U_1^3 = 2U_1^2 - a^2 \frac{2U_1^2 t^2}{h^2} + a^2 \frac{U_1^2 t^2}{h^2} - U_1^1 + a^2 \frac{U_2^2 t^2}{h^2} + f(x_1, t_j) t^2$$



Общий вид:

$$U_i^{j+1} = 2U_i^j - a^2 \frac{2U_i^j t^2}{h^2} - U_i^{j-1} + a^2 \frac{U_{i+1}^j t^2}{h^2} + a^2 \frac{U_{i-1}^j t^2}{h^2} + f(x_i, t_j) t^2, \text{ но}$$

для $U_{N_1-1}^j$ и U_1^j , получил другое (обоснование выше в расписанной точке)

• для U_1^j из-за того, что $U_1^j = U_0^j$

(при $i = 1$)

$$U_1^{j+1} = 2U_1^j - a^2 \frac{2U_1^j t^2}{h^2} - U_1^{j-1} + a^2 \frac{U_2^j t^2}{h^2} + a^2 \frac{U_1^j t^2}{h^2} + f(x_1, t_j) t^2$$

• для $U_{N_1-1}^j$ из-за того, что $U_{N_1}^j = U_{N_1-1}^j$

(при $i = N-1$)

$$U_i^{j+1} = 2U_i^j - a^2 \frac{2U_i^j t^2}{h^2} - U_i^{j-1} + a^2 \frac{U_i^j t^2}{h^2} + a^2 \frac{U_{i-1}^j t^2}{h^2} + f(x_i, t_j) t^2$$

Тогда разностная схема примет следующий вид:

$$U_i^1 = \frac{t^2}{2} f(x, t) \quad \text{для } j = 0, i = 1..N-1$$

$$U_i^{j+1} = 2U_i^j - a^2 \frac{2U_i^j t^2}{h^2} - U_i^{j-1} + a^2 \frac{U_{i+1}^j t^2}{h^2} + a^2 \frac{U_{i-1}^j t^2}{h^2} + f(x_i, t_j) t^2 \quad \text{для } j = 1..M-1, i = 2..N-2$$

$$U_1^{j+1} = 2U_1^j - a^2 \frac{2U_1^j t^2}{h^2} - U_1^{j-1} + a^2 \frac{U_2^j t^2}{h^2} + a^2 \frac{U_1^j t^2}{h^2} + f(x_1, t_j) t^2 \quad \text{для } j = 1..M-1, i = 2$$

$$U_0^j = U_1^j \quad \text{для } j = 1..M-1$$

$$U_i^{j+1} = 2U_i^j - a^2 \frac{2U_i^j t^2}{h^2} - U_i^{j-1} + a^2 \frac{U_i^j t^2}{h^2} + a^2 \frac{U_{i-1}^j t^2}{h^2} + f(x_i, t_j) t^2 \quad \text{для } j = 1..M-1, i = N-1$$

$$U_N^j = U_{N-1}^j \quad \text{для } j = 1..M-1$$

Практическая часть

Численное решение примера 1

Результаты вычислений на нескольких временных слоях приведены в следующей таблице:

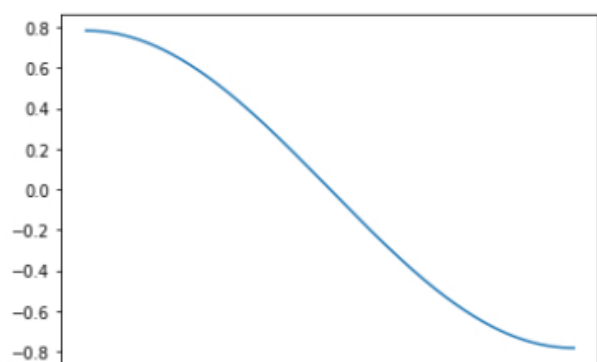
(для удобства в таблицу внесены значения не во всех точках полученного массива):

Левый столбец - ответ, полученный разностной схемой

Правый - точное решение

	t = 1		t = 5	
u(0,t)	0.0	0.0001	0.003041	0.003048
u(0.5,t)	0.000106	0.000107	0.002639	0.002644
u(1.04,t)	6.227942e-05	6.29056e-05	0.00153	0.001541
u(1.56,t)	1.2319e-06	1.24438e-06	3.043419	3.04965
u(2.08,t)	-6.014145e-05	-6.074613e-05	3.043419	-0.001488
u(2.6,t)	-0.000105	-0.000106	-0.002608	-0.0026
u(3.12,t)	-0.00012	-0.000124	-0.00304	-0.00304

Графики в один момент времени:



получен с помощью разностной схемы

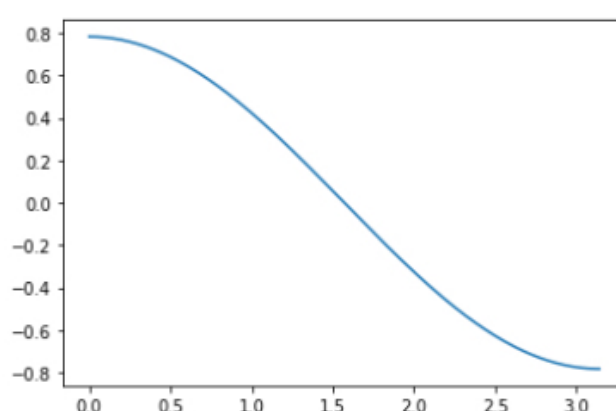


График точного решения

Построим график погрешности, как разность точного решения и решения, найденного численным методом

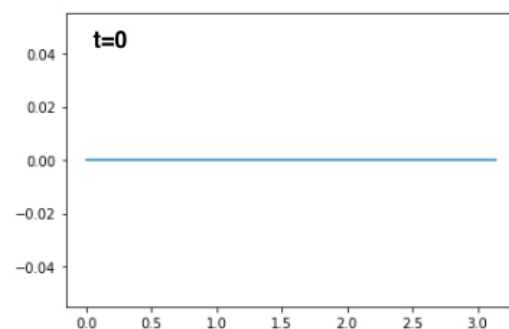
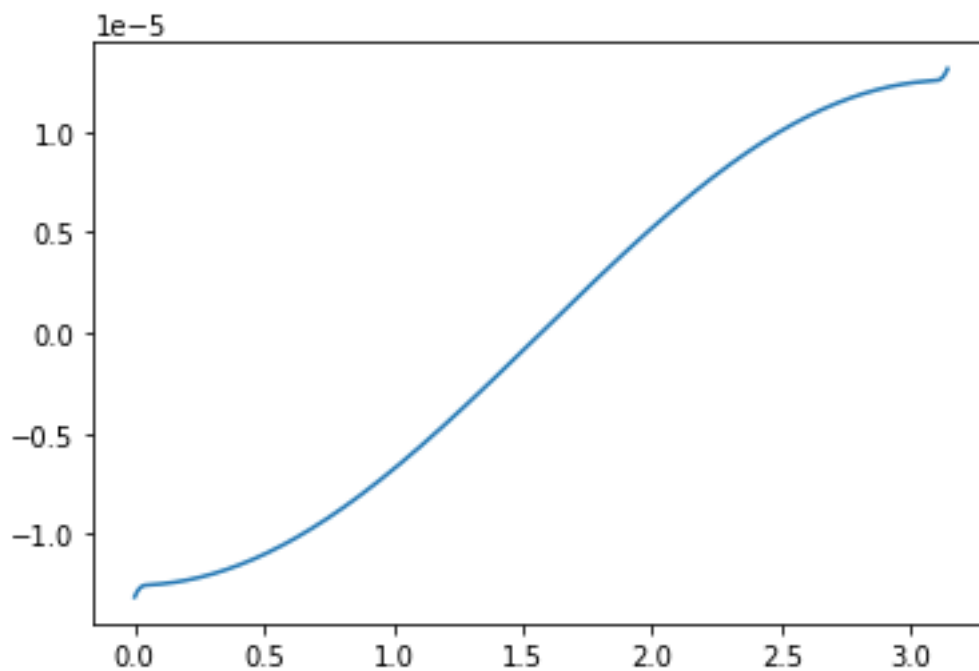
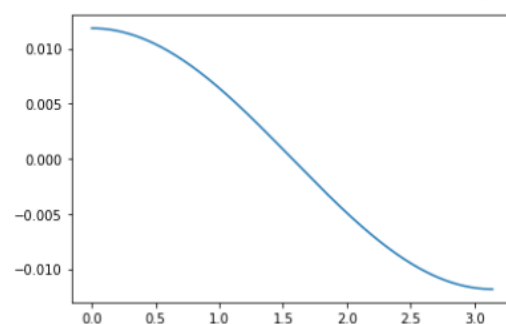
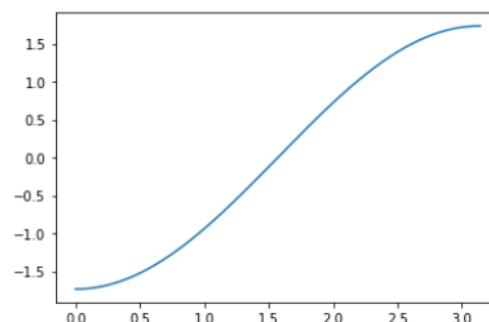


График в разные моменты времени:



Вывод:

Графики точного решения и решения, построенного разностной схемой в один и тот же момент времени совпадают. Погрешность с течением времени будет увеличиваться из-за того, что мы находим узлы схемы последовательно, начиная с времени $t = 0$.



Численное решение примера 2

Результаты вычислений на нескольких временных слоях приведены в следующей таблице:

(для удобства в таблицу внесены значения не во всех точках полученного массива):

Левый столбец - ответ, полученный разностной схемой

Правый - точное решение

	t = 1		t = 3	
u(0,t)	0.000039	0.00015	0.0000899	0.0003594
u(0.5,t)	-0.000019	-0.000078	-0.000043	-0.000175
u(1.04,t)	-0.000020	-0.000083	-0.000047	-0.000187
u(1.56,t)	0.000039	0.000159	0.0000898	0.0003591
u(2.08,t)	-0.000018	-0.00007	-0.000040	-0.000162
u(2.6,t)	-0.000022	-0.00008	-0.00005	-0.000200
u(3.12,t)	0.000039	0.000159	0.000089	0.00035830

Построим график погрешности, как разность точного решения и решения, найденного численным методом

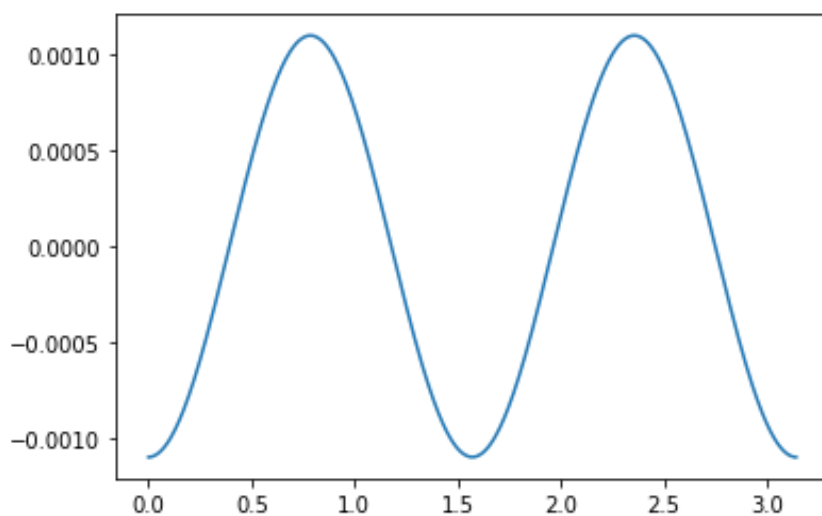
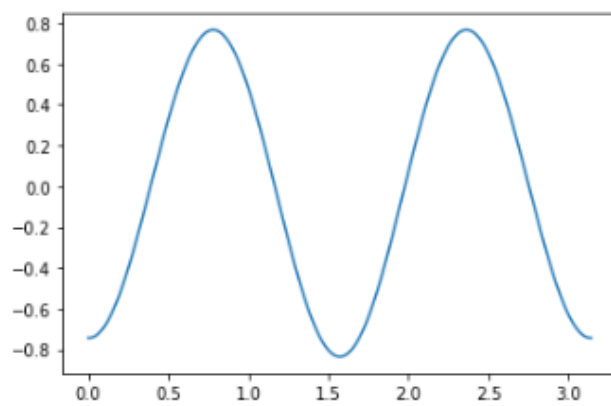
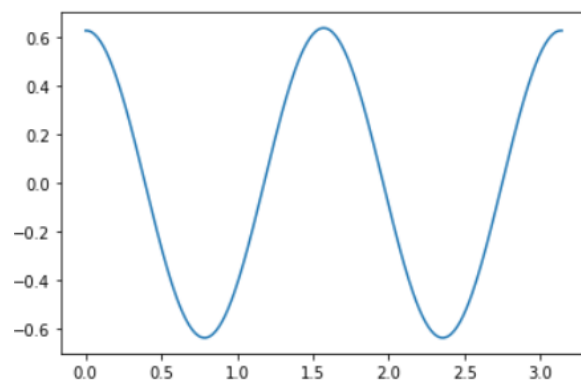
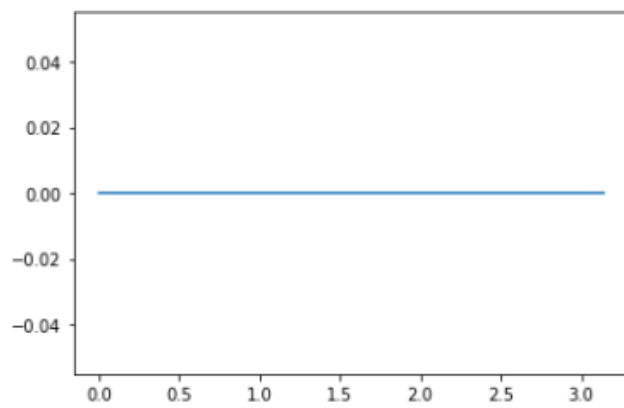


График в разные моменты времени:



Вывод:

Графики точного решения и решения, построенного разностной схемой в один и тот же момент времени совпадают

Моделирование колебаний в зависимости от внешнего сосредоточенного импульса

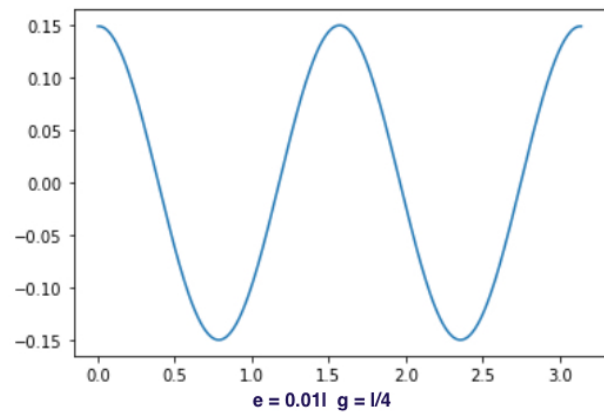
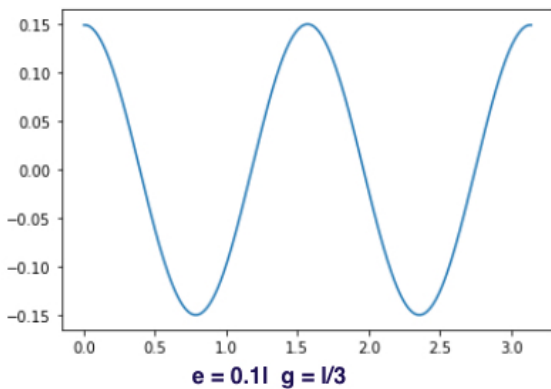
1.10. Задача (1.2) . Явная схема. Моделирование колебаний в зависимости от внешнего сосредоточенного импульса.

$$f(x,t) = g(x,\xi,\varepsilon), \quad g(x,\xi,\varepsilon) = \begin{cases} 2\varepsilon, & x \in [\xi - \varepsilon, \xi + \varepsilon] \\ 0, & x \notin [\xi - \varepsilon, \xi + \varepsilon] \end{cases}, \quad \varepsilon = 0.1l, 0.01l, \quad \xi = l/4, l/2, l/3.$$

$$\phi(x) = 0, \quad \varphi(x) = 0$$

Имеем модель в которую можем передавать входные параметры. (передаем разные вариации)

Примеры некоторых графиком:



Заключение:

В курсовой работе рассмотрена разностная схема по построению второй краевой задачи для уравнения колебаний. Были решены и построены два тестовых примера. Отладка происходила при сравнении точного решения и решения, полученного разностной схемой.

В итоге мы добились того, что программа помогает моделировать колебания в зависимости от внешнего сосредоточенного импульса

Код программы

```
import numpy as np
import matplotlib.pyplot as plt
import math
```

```
# граничные условия для всех данных
def U0_x(x):
    return 0
```

```
# разностная схема
def diff_scheme(l, T, h, ty, f, a, U0_x):
    N = int(l/h) + 1
    M = int(T/ty) + 1

    x = np.linspace(0, l, N)
    t = np.linspace(0, T, M)

    U = np.zeros((N, M))

    for i in range(N): # U(x,0) and U_t(x,0)
        U[i,0] = U0_x(x[i])
        U[i,1] = U0_x(x[i])

    for i in range(1, N-1):
        U[i,1] = ty**2/2*f(x[i], t[1])

    for j in range(1, M-1):
        U[1,j+1] = U[1,j]*2 - U[1,j]*(2*a**2*ty**2)/h**2 + U[1+1,j]*(a**2*ty**2)/h**2 - U[1,j-1] + (a**2*ty**2)/(h**2)*U[1,j] + f(x[1], t[j])*ty**2
        U[0,j+1] = U[1,j+1]

        for i in range(2, N-2):
            U[i, j+1] = U[i,j]*2 - U[i,j]*(2*a**2*ty**2)/h**2 + U[i+1,j]*(a**2*ty**2)/h**2 - U[i,j-1] + (a**2*ty**2)/(h**2)*U[i-1,j] + f(x[i], t[j])*ty**2

        U[N-2,j+1] = U[N-2,j]*2 - U[N-2,j]*(2*a**2*ty**2)/h**2 + U[N-2,j]*(a**2*ty**2)/h**2 - U[N-2,j-1] + (a**2*ty**2)/(h**2)*U[N-2-1,j] + f(x[N-2], t[j])*ty**2
        U[N-1,j+1] = U[N-2,j+1]

    return x, t, np.transpose(U)
```

```
##функция вывода графиков точного решения
def show_tochn(f, moment, N, M):
    fig = plt.subplots()
    xval = np.linspace(0, math.pi, N)
    yval = np.linspace(0, 10, M)
    x, t = np.meshgrid(xval, yval)
    tochn = u(x, t)

    plt.plot(x[moment], tochn[moment])
    plt.show()
```

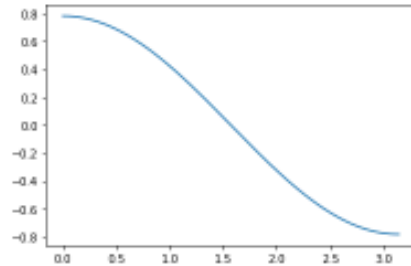
```
##функция вывода графиков решения
def show(x, z, moment):
    fig = plt.subplots()
    plt.plot(x, z[moment])
    plt.show()
```

Тестовый пример 1

```
def Func1(x,t):
    return 10*math.e**(-3*t)*np.cos(x)

l = math.pi
a = 1
T = 10
h = 0.01
th = 0.01
x,t,z = diff_scheme(l, T, h, th, Func1, a, U0_x)[0:3]

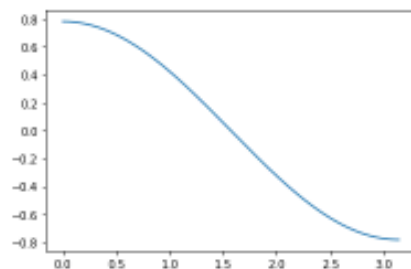
show(x,z,50) # 3 параметр - момент времени
```



точное решение

```
u = lambda x, t: (math.e**(-3*t) + 3*np.sin(t) - np.cos(t))*np.cos(x)
N = int(l/h) + 1
M = int(T/th) + 1

show_tochn(u,50,N,M)
```

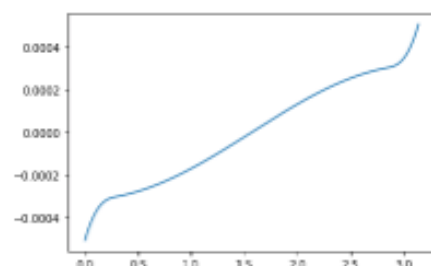


```
# вывод решения в виде таблицы
moment = 5
x = diff_scheme(l, T, h, th, Func1, a, U0_x)[0]
xval = np.linspace(0, math.pi, N)
yval = np.linspace(0, 10, M)
x, t = np.meshgrid(xval, yval)
tochn = u(x, t)

for i in range(0, len(x[0]), int(len(x[0])/6)):
    print("[", x[moment][i], "] =", z[moment][i], " ", tochn[moment][i])

[ 0.0 ] = 0.011844246891550997      0.011895223842126601
[ 0.520263751549902 ] = 0.010278252391381928      0.010321344134060993
[ 1.040527503099804 ] = 0.005991073375752229      0.006016191049696079
[ 1.5607912546497063 ] = 0.00011851371646701298      0.00011901058717805053
[ 2.081055006199608 ] = -0.005785407493630604      -0.005809662909971427
[ 2.6013187577495103 ] = -0.01015837214873362      -0.010200961291518089
[ 3.1215825092994125 ] = -0.011842851149465492      -0.011892842462835477
```

```
#график погрешности
moment = 30
fig = plt.subplots()
plt.plot(x[moment], z[moment]-tochn[moment])
plt.show()
```

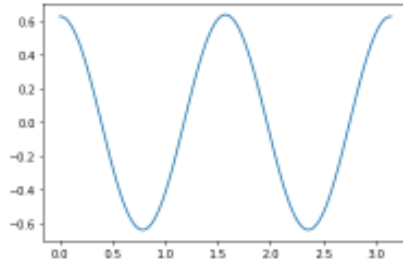


Тестовый пример 2

```
1 def Func2(x,t):
    return 8*np.cos(2*t)*np.cos(4*x)

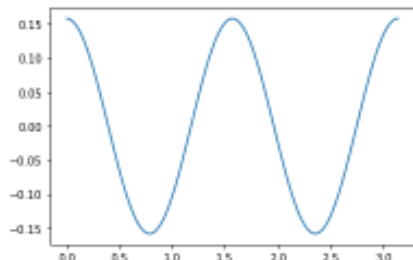
l = math.pi
a = 1
T = 5
h = 0.01
t = 0.01
x,t,z = diff_scheme(l, T, h, th, Func2, a, U0_x)[0:3]

show(x,z,50)
```



```
1 u = lambda x, t: 4/3*((1 + 2 *np.cos(2*t))*np.sin(t)**2)*np.cos(4*x)
N = int(l/h) +1
M = int(T/th)+1

show_tochn(u,50,N,M)
```

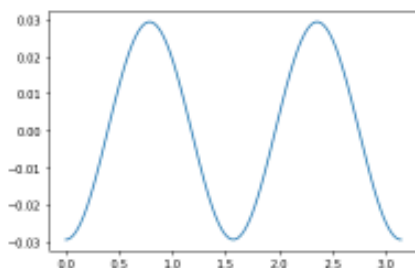


```
1 # вывод решения в виде таблицы
moment = 8
x = diff_scheme(l, T, h, th, Func2, a, U0_x)[0]
z = diff_scheme(l, T, h, th, Func2, a, U0_x)[2]
xval = np.linspace(0, math.pi, N)
yval = np.linspace(0, 10, M)
x, t = np.meshgrid(xval, yval)
tochn = u(x, t)

for i in range(0, len(x[0]), int(len(x[0])/6)):
    print("[", x[moment][i], " ] = ", z[moment][i], " ", tochn[moment][i])

[ 0.0 ] = 0.025266407380480544      0.09809310679876551
[ 0.520263751549902 ] = -0.012371875930861405      -0.04790896681358884
[ 1.040527503099804 ] = -0.013246363707069175      -0.05129534136853565
[ 1.5607912546497063 ] = 0.025311003254957772      0.0980145631702905
[ 2.081055006199608 ] = -0.011477575711998592      -0.04444587037240904
[ 2.6013187577495103 ] = -0.014099638627376943      -0.05459957106404358
[ 3.1215825092994125 ] = 0.025221159260186823      0.09777905806539734
```

```
1 #график погрешности
moment = 5
fig = plt.subplots()
plt.plot(x[moment], z[moment]-tochn[moment])
plt.show()
```

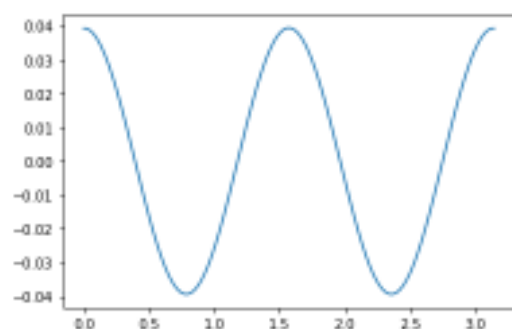


Моделирование колебаний в зависимости от внешнего сосредоточенного импульса

```
1 def Func(x,g,e):  
    if (x < (e + g) & (x > (g - e))):  
        return 2*e  
    else:  
        return 0
```

```
1 # ВХОДНЫЕ ДАННЫЕ  
l = math.pi  
#eps = 0.1*l  
eps = 0.01*l  
  
#g = 1/4  
#g = 1/2  
g = 1/3
```

```
1 a = 1  
T = 5  
h = 0.01  
t = 0.01  
x,t,z =diff_scheme(l, T, h, th, Func2, a, U0_x)[0:3]  
  
show(x,z,10)
```



Содержание

Теоретическая часть	2
Постановка задачи	2
Аналитическое решение	2
Тестовый пример 1	6
Тестовый пример 2	8
Практическая часть	12
Численное решение примера 1	12
Численное решение примера 2	14
Моделирование колебаний в зависимости от внешнего сосредоточенного импульса	16
Код программы	17
Содержание	21